



ارتباط چند شکلی‌های آلی اگزون یک و سه ژن FSHB با صفت چندقلوزایی در گوسفند بلوچی

محسن قلیزاده^۱ و مجتبی نجفی^۲

^۱- استادیار، دانشگاه علوم کشاورزی و منابع طبیعی ساری، (نویسنده مسؤول): m.gholizadeh@sanru.ac.ir

^۲- دکتری زنگنه و اصلاح دام، دانشگاه کشاورزی و منابع طبیعی ساری

تاریخ پذیرش: ۹۴/۰۷/۱۱

چکیده

هدف از این پژوهش بررسی ارتباط فرم‌های مختلف آلی در اگزون اول و سوم ژن FSHB با صفت چند قلوزایی در گوسفند بلوچی بود. نمونه‌های خون به طور تصادفی از ۱۴۱ راس گوسفند نژاد بلوچی جمع‌آوری، به روش نمکی بهینه یافته استخراج و دو قطعه جفت بازی از اگزون یک و ۴۲۷ جفت بازی از اگزون سه با استفاده از واکنش‌های زنجیره‌ای پلی مراز تکثیر شدند. به منظور تعیین ژنتیک از دو روش PCR-SSCP و توالی‌بای PCR استفاده شد. بررسی ژله‌ای اکریل آمید نشان داد که اگزون سوم ژن FSHB در جمیعت مورد مطالعه یک شکل بود. این مطالعه نتایج تعیین توالی سه جهش را در اگزون شماره یک شناسایی نمود که منجر به تشکیل هفت الگوی مختلف باندی شد. بررسی ارتباط الگوهای شناسایی شده با صفات مورد مطالعه نشان داد که ناحیه مورد مطالعه به طور معنی‌داری ($P < 0.05$) تعداد کل بردگاه و میانگین تعداد بره‌ها را در طول شکم تحت تأثیر قرار می‌دهد. همچنین ارتباط این توالی معنی‌داری ($P < 0.05$) بود که در مقایسه با الگوی A، الگوی E بیشترین تعداد بره (۱/۸۸) و الگوی B کمترین تعداد بره را در این شکم به خود اختصاص داد. با نتایج این پژوهش و بررسی بیشتر در جمیعت دیگر می‌توان این جایگاه را به عنوان ژنی کاندیدا در برنامه‌های اصلاح نژادی در نظر گرفت.

واژه‌های کلیدی: ژن FSHB، گوسفند، چند قلوزایی

است. موش‌های ماده با نقص هورمون، نابارور و دارای تخدمان‌های کوچک می‌باشند (۱۴). بیان بیش از حد این هورمون در موش‌های ماده، خصوصیات تحریک بیش از حد و سندروم پلی سیستیک تخدمانی در انسان را نشان می‌دهد (۱۴). تمامی هورمون‌های گلیکوبروتئینی (FSH، LH) از یک زیرواحد مشابه الفا و یک زیر واحد اختصاصی بتاشکیل یافته اند. اگر چه هر دو زیر واحد FSH در اتصال به گیرنده FSHR (FSHR) مشارکت دارند، این FSHB است که اختصاصی بودن این اتصال را تعیین می‌نماید (۷۵). ژن FSHB در گوسفند روی کروموزوم ۱۵ قرار دارد و دارای ۳ اگزون و ۲ اینترون است (۱۱). نظیفی و همکاران (۱۷) اثر چند شکلی در بخشی از اگزون شماره دو زیر واحد بتای ژن هورمون محرك فولیکولی (FSHB) را بر نرخ زایش گوسفندان نژادهای ایران بلک، آرمان و بلوچی به روش SSCP مطالعه کردند. آنها گزارش دادند که اثر ژنتیک بر صفت چند قلوزایی فقط در نژاد بلوچی معنی‌دار است، بهطوری که ژنتیک AC با میانگین بزرگ‌زاده ۱/۰۷ عملکرد بهتری را نسبت به ژنتیک AA میانگین بزرگ‌زاده ۱/۰۳ نشان داد. ژانگ و همکاران (۲۲) چندشکلی در ژن FSHB به روش PCR و PCR-SSCP و PCR-RFLP و ارتباط ژنتیک‌ها با چندقلوزایی در ۴ نژاد بزرگ‌زاده (بوئر، ماتو، سیاه و تلاقی بوئر-ماتو) شامل ۷۸۰ رأس را مورد بررسی قرار دادند در مطالعه آن‌ها یک جهش جدید در اگزون شماره ۳ در هر ۴ نژاد شناسایی شد که سبب عملکرد بهتر چندقلوزایی در بزرگ‌زاده با باروری بهتر می‌شد.

هدف از اجرای این طرح شناسایی فرم‌های مختلف آلی اگزون یک و سه ژن FSHB به روش PCR-SSCP و ارتباط آن با صفت چند قلوزایی در گوسفند بلوچی می‌باشد.

مقدمه
چند قلوزایی یکی از مهم‌ترین صفات اقتصادی در بروش گوسفند می‌باشد. یکی از راههای بهبود این صفات، شناسایی و انتخاب حیوانات برتر و مناسب برای صفات مذکور می‌باشد که امروزه از طریق تکنیک‌های مختلف مولکولی مبتنی بر DNA، دست‌یابی به این اهداف امکان‌پذیر شده است. تا کنون سه ژن موثر بر باروری در گوسفند شناسایی شده که شامل ژن FecB (ALK6) با نام بوروولا با نشانه آلی FecB روی کروموزوم ۶ (GDF9) یا روی کروموزوم شماره ۵ (BMP15) و FecX (BMP15) روی کروموزوم X (۸) و (۱۲) هستند. فرهادی و همکاران (۶) در پژوهشی، اولین بار جایگاه دقیق این ژن‌های بزرگ اثر را روی کروموزوم‌های گوسفند، بزرگ‌زاده، بوقالو و گاو نقشه‌یابی نمودند. از آنجایی که این ژن‌های کاندیدا می‌توانند واسطه به نژاد خاصی باشند و از طرفی چesh‌های موثر در دیگر نقاط ژنومی نیز می‌توانند وجود داشته باشند، می‌توان با پویش مناطق دیگر ژنومی، نواحی موثر بر این صفت را شناسایی کرد. قلی‌زاده و همکاران (۹) با استفاده از ریزآرایه‌های تانویی ژنوم گوسفند بلوچی را برای شناسایی مناطق ژنومی موثر بر نرخ چندقلوزایی مورد پویش قرار دادند و نشانگرهای معنی‌دار شناسایی شده را روی کروموزوم ۱۵ و پایین دست ژن FSHB^۱ گزارش دادند. هورمون محرك فولیکول (FSH) یک هورمون گلیکوبروتئینی بوده که در غده هیپوفیز بیان می‌شود و نقش آن تنظیم تولید مثل در پستانداران می‌باشد (۱۸-۱۵) در نرها FSH به همراه تستوسترون مهم‌ترین هورمون تروپیک بوده که عملکرد سول سرتولی را تنظیم می‌کند که در حفظ کیفیت و کمیت اسپرم در پروسه اسبرمatoژن ضروری می‌باشد. نقش این هورمون در تولید مثل جنس ماده مورد مطالعه قرار گرفته

نمکی بهینه یافته (۱۶) و برای تعیین ویژگی‌های کمی و کیفی DNA از الکتروفوروز ژل آگارز استفاده شد.

واکنش پی سی آر در این پژوهش از دو جفت آغازگر اختصاصی برای تکثیر اگزون اول و سوم (به همراه بخشی از ایترنون دوم) ژن FSHB استفاده شد. (جدول ۱).

مواد و روش‌ها

نمونه‌گیری و استخراج دی ان ای

نمونه‌های خون از ۱۴۱ راس میش نژاد بلوجی استگاه اصلاح نژاد شمال شرق کشور (عباس آباد) جمع‌آوری شد. نمونه‌ها بالافصله با حفظ شرایط زنجیره سرد به آزمایشگاه منتقل و تا زمان استخراج DNA در دمای -۲۰ درجه سانتی‌گراد نگهداری شدند. جهت استخراج DNA از روش جدول ۱- آغازگرهای مورد استفاده برای تکثیر اگزون اول و سوم ژن FSHB

Table 1. Primers used for the amplification of exon 1 and exon 3 of FSHB gene

آغازگر	توالی DNA	شماره ثبت شده	اندازه قطعه (جفت باز)	نامه تکثیری	دماه اتصال سانتی‌گراد
یک	F: 5'-CGTCCAGTTCTGCTTCCTTTT-3' R: 5'-GTGGGAATCAATGAAACCTGC-3'	Capra AY156689	۲۲۰	اگزون یک	۶۲
دو	F: 5'-GTATTCAATCCCCTGTCTCA-3' R: 5'-GTAGGGTCTCTGTGGTG-3'	Ovisaries S64745	۴۲۷	اگزون سوم ایترنون ۲	۵۶/۹

ژنتوتیپ‌های به دست آمده، از هر الگو یک نمونه برای تعیین توالی انتخاب شدند. بعد از تکثیر مجدد این قطعات توسط واکنش زنجیره پلیمراز، خالص‌سازی محصول بی سی آر توسط کیت تلخیص DNA از شرکت Roche و بر اساس دستورالعمل این شرکت صورت گرفت و برای تعیین توالی به شرکت بايونیر[®] که جنوی ارسال شد.

آنالیز آماری

از نرم‌افزار SAS نسخه ۱۹(۹/۲) برای تجزیه و تحلیل ارتباط ژنتوتیپ‌ها با صفات چند قولزایی (۳ کلاس) در شکم‌های مختلف زایش (رویه لجستیک)، تعداد کل بردها (رویه مختلط) و میانگین تعداد برده در طول چهار شکم زایش (رویه مختلط) استفاده شد. در آنالیز هم ترازی این توالی‌ها با توالی مرجع که در بانک اطلاعات به ثبت رسیده است از نرم‌افزار BioEdit (۱۰) نسخه ۷ و برای آنالیز توالی پروتئینی از نرم‌افزار ExPASy (۲) استفاده شد.

نتایج و بحث

واکنش پی سی آر و تعیین ژنتوتیپ

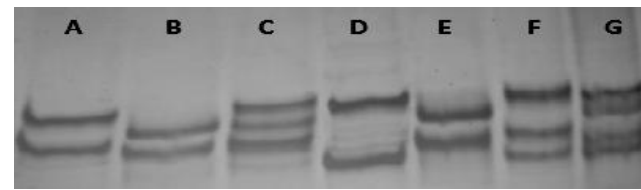
DNA ژنومی گوسفند بلوجی با استفاده از دو جفت آغازگر اختصاصی برای ژن FSHB مورد تکثیر قرار گرفت. محصولات پی سی آر با استفاده از ژل آگارز ۲ درصد شناسایی شدند. محصولات تکثیر شده با قطعات مورد مطالعه سازگار و از جنبه اختصاصی بودن مناسب بودند. بررسی ژل‌های اکریل آمید نشان داد که اگزون سوم ژن FSHB در جمیعت مورد مطالعه یک شکل بود. این مطالعه، اما، منجر به شناسایی هفت الگوی باندی برای اگزون اول (A) با ۶۵ مشاهده، B با ۸ مشاهده، C با ۵۲ مشاهده، D با ۹ مشاهده، E با ۴ مشاهده، F و G هر کدام با یک مشاهده) این ژن در گوسفند بلوجی شد. برای تأیید نتایج SSCP، از هر الگو یک مورد جهت تعیین توالی استفاده شد. نتایج تعیین توالی سه جهش را در اگزون شماره یک شناسایی نمود که منجر به تشکیل هفت الگوی مختلف باندی می‌شد (جدول ۲ و شکل ۱).

واکنش زنجیره‌ای پلیمراز در حجم ۲۵ میکرولیتر شامل ۲/۵ میکرولیتر بافر (10x)، ۰/۵ میکرولیتر dNTPs (10mM)، ۱/۲ میکرولیتر آنزیم پلیمراز (U)، ۱۰۰ نانوگرم DNA ژنومی و ۱/۵ میکرولیتر MgCl₂(1.6 mM) و یک میکرولیتر از هر یک از پرایمرها (10 pM) انجام شد. سپس چرخه‌های حرارتی PCR شامل: ۹۵ درجه سانتی‌گراد جهت واسرشته سازی اولیه DNA به مدت ۵ دقیقه، واسرشت ثانویه در دمای ۹۵ درجه سانتی‌گراد به مدت ۴۵ ثانیه، دمای ۵۸ درجه سانتی‌گراد برای اتصال آغازگرها به مدت ۴۵ ثانیه، دمای ۷۲ درجه سانتی‌گراد جهت بسط آغازگرها به مدت ۴۵ ثانیه به تعداد ۳۵ چرخه و بسط نهائی به مدت ۱۰ دقیقه در ۷۲ درجه سانتی‌گراد انجام شد. برای تایید اندازه قطعه تکثیر شده و هم چنین تعیین کمیت و کیفیت محصول PCR از ژل آگارز ۲ درصد و رنگ‌آمیزی اتیدیوم بروماید به همراه نشانگر وزنی M100 از شرکت فرمنتاز استفاده شد.

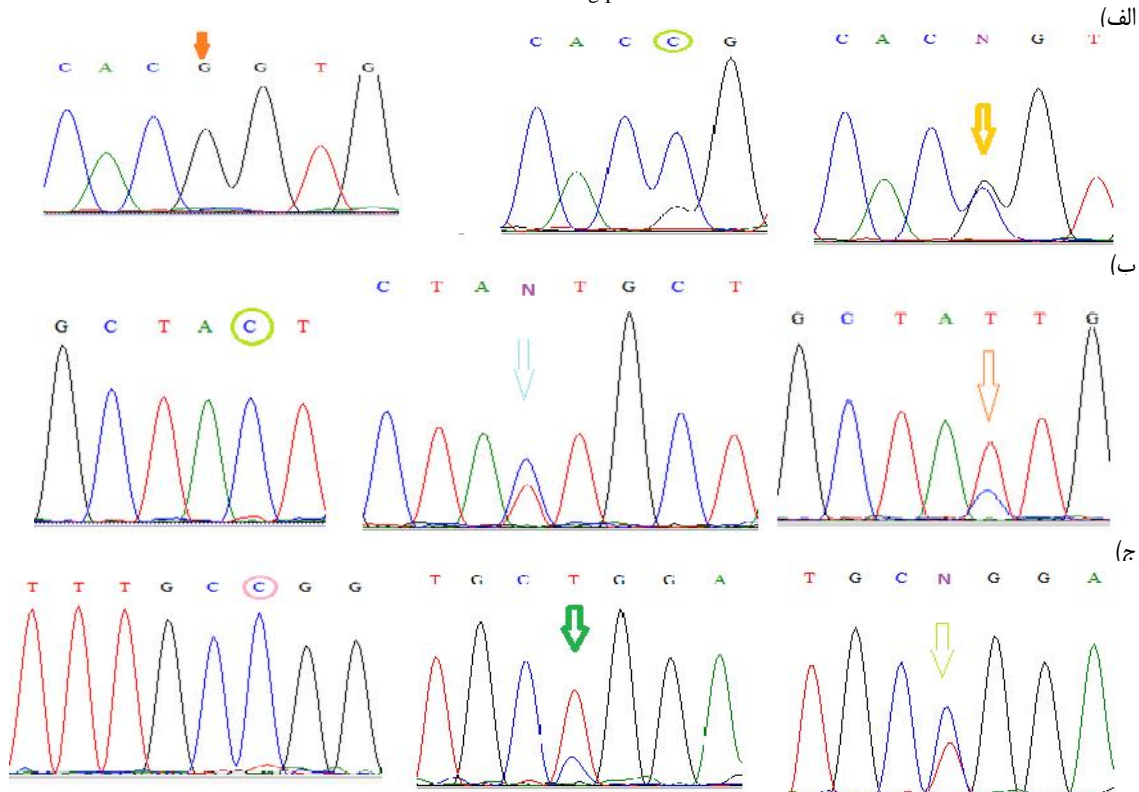
تعیین ژنتوتیپ

الف: آنالیز اس اس سی پی

برای تعیین ژنتوتیپ هر حیوان از روش PCR-SSCP و الکتروفوروز ژل پلی اکریل آمید استفاده شد. در این روش تعیین ژنتوتیپ، بر اساس اختلاف حرکت محصول PCR تکثیر شده در میدان الکتروفوروز که ناشی از تغییر شکل فضایی DNA تک رشته‌ای است، صورت می‌پذیرد. برای تک رشته سازی، ۷ میکرولیتر از محصول PCR را با ۲ میکرولیتر از بافر بارگذاری مخصوص ژل اکریل آمید (98% formamide, 10 mM EDTA, 0.025% bromophenol blue, and 0.025% xylene-cyanol) در مدت ۶ دقیقه با دمای ۹۶ درجه سانتی‌گراد حرارت داده شد. در این پژوهش از ژل اکریل آمید ۱۲٪ استفاده شد. بعد از انجام الکتروفوروز محصولات PCR روی ژل اکریل آمید، از نیترات نقره برای رنگ‌آمیزی استفاده شد (۴). در این پژوهش تعیین ژنتوتیپ مستقیماً از روی ژل انجام و با شمارش مستقیم الگوهای باندی، فرآونی الی و ژنتوتیپی برآورد شد. با توجه به نتایج حاصل از روش PCR-SSCP، جهت تایید



شکل ۱- آنالیز SSCP قطعات تکثیر شده اگزون ۱ زن *FSHB* منجر به شناسایی هفت الگوی مختلف باندی
Figure 1. SSCP analysis of amplified fragments from exon 1 of *FSHB* resulting in the identification of seven different banding patterns



شکل ۲- جهش‌های شناسایی شده در اگزون یک. الف: موقعیت ۳۰، ب: موقعیت ۹۰ و ج: موقعیت نوکلئوتید شماره ۱۲۱
Figure 2. Identified mutations from exon 1. A: site 30, B: site 90 and G: site 121

عملکرد آن را تغییر دهد (۱۳). در میان الگوهای شناسایی شده الگوی A با کد شناسایی KP162005 در بانک زن ثبت شد. همچنین، مقایسه توالی توکلئوتیدها با توالی ثبت شده زن (کد S64745.1) یک الحق تک توکلئوتیدی در ناحیه غیرکدکننده (۱۱۰ A-T ACT) شناسایی نمود (جدول ۲).

در میان جهش‌های شناسایی شده دو جهش در موقعیت‌های ۳۰ و ۹۰ (شکل ۲) در نواحی کدکننده اگزون یک واقع شده بودند. اسید آمینه‌های استنتاج شده از توالی توکلئوتیدهای الگوهای مختلف یکسان بود که نشان می‌داد این جهش‌ها از نوع خاموش می‌باشند. اگرچه یک جهش خاموش توالی اسید نوکلئیک را تغییر نمی‌دهد، اما می‌تواند

جدول ۲- جهش‌های نوکلئوتیدی بین ۷ الگوی مختلف تکثیر شده با آغازگر یک

Table 2. The nucleotide mutations between seven different amplified banding patterns by primer 1

الگوهای SSCP	توالی‌های نوکلئوتیدی (۳' → ۵')					ACT
	30	90	110	121		
S64745.1	CACCATCACCC	TGCAGGCTAT	GGGTAGGCCA	TTTGCTTTCG	TGGAAGTGAG	ACT
1	C-----G	T-----C	G-----C	T-----C	C-----G	AC-
2	C-----C	T-----T	G-----C	T-----C	T-----G	AC-
3	C-----N	T-----N	G-----C	T-----C	N-----G	AC-
4	C-----G	T-----N	G-----C	T-----C	T-----G	AC-
5	C-----C	T-----N	G-----C	T-----C	N-----G	AC-
6	C-----G	T-----N	G-----C	T-----C	N-----G	AC-
7	C-----N	T-----T	G-----C	T-----C	T-----G	AC-

شماره‌ها مکان جهش‌ها را نشان می‌دهند

تحت تأثیر قرار می‌دهد (جدول ۳). همچنین ارتباط این ناحیه با چند قلووزایی در شکم دوم معنی‌دار ($P < 0.05$) بود که در مقایسه با الگوی A، الگوی E بیشترین تعداد بره (۱/۸۸) را نشان داد و الگوی A، الگوی B کمترین تعداد بره را در این شکم به خود اختصاص داد ولی تنها الگوی باندی B اختلاف معنی‌داری با الگوی رفرنس داشت (جدول ۴).

ارتباط ژنتیپ‌ها با صفات مورد مطالعه

در مرحله تجزیه و تحلیل داده‌ها، دو الگوی (F و G) با فراوانی بسیار کم (یک مشاهده) از ادامه آنالیز حذف شدند. بررسی ارتباط الگوهای شناسایی شده با صفات مورد مطالعه نشان داد که ناحیه مورد مطالعه به طور معنی‌داری ($P < 0.05$) تعداد کل بره‌ها و میانگین تعداد بره‌ها را در طول ۴ شکم

جدول ۳- میانگین حداقل مربعات الگوهای مختلف باندی برای چند قلووزایی

Table 3. Least squares means for litter size of different banding patterns

صفت	الگوهای مختلف					Pr>F
	A	B	C	D	E	
میانگین تعداد بره در ۴ شکم	۱/۳۷ ± ۰/۰۸	۱/۳۰ ± ۰/۱۱	۱/۳۹ ± ۰/۰۴	۱/۶۰ ± ۰/۱۰	۱/۸ ± ۰/۱۴	۰/۱۶
تعداد کل بره در ۴ شکم	۴/۴۶ ± ۰/۲۱	۳/۸۷ ± ۰/۵۹	۴/۵۶ ± ۰/۲۳	۵/۶۷ ± ۰/۵۵	۶/۷۵ ± ۰/۸۳	۰/۰۱

*(P<0.05)

جدول ۴- آنالیز حداکثر درستنمایی اثرات الگوهای مختلف باندی برای چند قلووزایی

Table 4. Maximum likelihood analysis for litter size of different banding patterns

صفت	الگوهای مختلف (الگوی A به عنوان رفرنس)					Pr>ChiSq
	B	C	D	E		
شکم اول	-۱/۰۴ ± ۰/۸۹	۰/۲۴ ± ۰/۴۱	۰/۶۸ ± ۰/۶۲	-۰/۱۹ ± ۰/۹۶	۰/۷۲	
شکم دوم	-۱/۰۳ ± ۰/۹۰	-۰/۱۲ ± ۰/۴۱	۰/۶۷ ± ۰/۶۱	۱/۸۸ ± ۰/۹۳	۰/۰۵	
شکم سوم	۰/۱۹ ± ۰/۶۰	-۰/۰۹ ± ۰/۲۷	-۰/۱۳ ± ۰/۶۱	۱/۲۴ ± ۰/۹۳	۰/۳۳	
شکم چهارم	-۱/۰۵ ± ۰/۰۹	-۰/۰۷ ± ۰/۴۹	۰/۶۶ ± ۰/۶۷	۱/۱۸ ± ۰/۸۹	۰/۱۲	

*(P<0.05)

زانگ و همکاران (۲۲) گزارش دادند که چند شکلی اگرون سوم FSHB، که در مطالعه ما یکنواخت بود، با باروری در بز ارتباط دارد. جهش در این ژن احتمالاً منجر به تغییر بیان ژن و در نتیجه اثر روی غلظت FSH می‌شود که می‌تواند منجر به تغییر نرخ تخمکریزی شود (۲۱). همچنین بونت و لیماستر (۳) در یک شبیه‌سازی گزارش دادند که چند قلووزایی به طور گستره‌های وابسته به نرخ تخمکریزی و ظرفیت رحم در خوک است. ظرفیت محدود رحم در میش‌های با نرخ تخمکریزی بالا منجر به مرگ و میر بیشتر جنین می‌شود. بنابراین نرخ تخمکریزی یک عامل کلیدی در نرخ نهایی بروزگاری نیست (۲۱). در مجموع، نتایج این پژوهش نشان داد که PCR-SSCP، روشی مناسب برای مطالعه ژن FSHB در گوسفند می‌باشد. با نتایج این تحقیق و بررسی بیشتر در جمعیت دیگر می‌توان این جایگاه را به عنوان ژنی کاندیدا در برنامه‌های اصلاح نژادی در نظر گرفت.

تشکر و قدردانی

این مقاله نتیجه طرح پژوهشی به شماره ۰۲-۱۳۹۴-۰۳ ایت که لازم می‌دانیم از مساعدت‌های حوزه معاونت پژوهشی دانشگاه علوم کشاورزی و منابع طبیعی ساری تشکر نماییم، همچنین، نویسنده‌گان این پژوهش را کمال تشکر را از کارکنان و مدیریت ایستگاه اصلاح نژاد گوسفند بلوچی به خاطر در دسترس قرار دادن داده‌های این مطالعه دارند.

نتایج این پژوهش نشان داد PCR-SSCP روشی کارآمد در تعیین ژنتیپ جمعیت گوسفند بلوچی برای اگرون اول ژن FSHB است. تاکنون تحقیقی در ارتباط با اگرون اول و سوم این جایگاه و نقش آن در چند قلووزایی در گوسفند گزارش نشده است. اگرون سوم این ژن در این جمیت یک شکل بود. بر خلاف نتایج این تحقیق، در گزارش زانگ و همکاران (۲۲) اگرون اول این ژن در بز تک شکل گزارش شد در حالیکه اگرون سوم دارای چند شکلی بود. در مجموع هفت الگوی باندی برای اگرون اول شناسایی شد. الگوی باندی A بیشترین فراوانی و الگوهای F و G کمترین مشاهده را به خود اختصاص دادند. زانگ و همکاران (۲۲) برای این جایگاه در بز، با روش PCR-SSCP، ۳ ژنتیپ AA، BB و AB مشاهده کردند که ژنتیپ AA بیشترین اثر را در بزهای با باروری بالا داشت. آن و همکاران (۱) نیز سه ژنتیپ را برای اگرون دوم این جایگاه مشاهده گزارش کردند. نتایج این پژوهش با نتایج قلیزاده و همکاران (۹)، که با استفاده از مطالعه ارتباطی ژئومی (GWAS) گزارش دادند نشانگرهای معنی‌دار برای دوقلووزایی گوسفند بلوچی روی کروموزوم شماره ۱۵ جایی که ژن FSHB در آن قرار دارد مطابقت دارد. همچنین نتایج این پژوهش با نظیفی و همکاران (۱۷) که گزارش دادند FSHB (اگرون دوم) چند قلووزایی را در گوسفند بلوچی تحت تأثیر قرار می‌دهد مطابقت دارد. ارتباط چند شکلی در ژن FSHB در مطالعات دیگر نیز بررسی شده است.

منابع

1. An, X.P., D. Han, J.X. Hou, G. Li, Y.N. Wang, L. Li, G.Q. Zhu, J.G. Wang, Y.X. Song and B.Y. Cao. 2010. Polymorphism of exon 2 of FSH gene and its relationship with reproduction performance in two goat breeds. *Agricultural Sciences in China*, 9: 880-886.
2. Artimo, P., M.J. onnalagedda, K. Arnold, D. Baratin, G. Csardi and E. DeCastro. 2012. ExPASy: SIB bioinformatics resource portal. *Nucleic Acids Research*, 40: 597-603.
3. Bennett, G.L. and K.A. Leymaster. 1989. Integration of ovulation rate, potential embryonic viability and uterine capacity into a model of litter size in swine. *Journal of Animal Science*, 67: 1230-1241.
4. Byun, S.O., Q. Fang, H. Zhou and J.G.H. Hickford. 2009. An effective method for silver-staining DNA in large numbers of polyacrylamide gels. *Analytical Biochemistry*, 385: 174-175.
5. Fan, Q.R. and W.A. Hendrickson. 2005. Structure of human follicle-stimulating hormone in complex with its receptor. *Nature*, 433: 269-277.
6. Farhadi, A., V. Genualdo, A. Perucatti, S.H. Hafezian, G. Rahimi-Mianji, L. De Lorenzi, P. Parma, L. Iannuzzi and A. Iannuzzi. 2013. Comparative FISH mapping of BMPR1B, BMP15 and GDF9 fecundity genes on cattle, river buffalo, sheep and goat chromosomes. *Journal of Genetics*, 92: 595-597.
7. Fox, K.M., J.A. Dias and P. Van Roey. 2001. Threedimensional structure of human follicle-stimulating hormone. *Molecular Endocrinology*, 15: 378-389.
8. Galloway, S.M., K.P. McNatty, L.M. Cambridge, M.P.E. Laitinen, J.L. Juengel, S. Jokiranta, R.J. McLaren, K. Luiro, K.G. Dodds, G.W. Montgomery, A.E. Beattie, G.H. Davis and O. Ritvos. 2000. Mutations in an oocyte-derived growth factor gene (BMP15) cause increased ovulation rate and infertility in a dosage-sensitive manner. *Nature Genetics*, 25:279-283.
9. Gholizadeh, M., G. Rahimi-mianji, A. Nejati-javaremi, D.J. De Koning and E. Jonas. 2015. Genomewide association study to detect QTL for twinning rate in Baluchi sheep. *Journal of Genetics*, 93: 489-493.
10. Hall, T.A. 1999. BioEdit: a user-friendly biological sequence alignment editor and analysis program for Windows 95/98/NT. *Nucleic Acids Symposium Series*, 41: 95-98.
11. Hediger, R., S.E. Johnson and DJ. Hetzel. 1991. Localization of the beta-subunit of follicle stimulating hormone in cattle and sheep by *in situ* hybridization. *Animal Genetics*, 22: 237-44.
12. Hanrahan, J.P., S.M. Gregan, P. Mulsant, M. Mullen, G.H. Davis, R. Powell and S. Galloway. 2004. Mutations in the genes for oocyte derived growth factors GDF9 and BMP15 are associated with both increased ovulation rate and sterility in Cambridge and Belclare sheep (*Ovis aries*). *Biology Reproduction*, 70: 900-909.
13. Kimchi-Sarfaty, C., J.M. Oh, I.W. Kim, Z.E. Sauna, A.M. Calcagno, S.V. Ambudkar and M.M. Gottesman. 2007. A 'silent' polymorphism in the MDR1 gene changes substrate specificity. *Science*, 315: 525-528.
14. Kumar, T.R., Y. Wang, N. Lu and M.M. Matzuk. 1997. Follicle stimulating hormone is required for ovarian follicle maturation but not male fertility. *Nature Genetics*, 15: 201-204.
15. McLahlan, R.I., N.G. Wreford, D.M. Robertson and D.M. de Kretser. 1995. Hormonal Control of Spermatogenesis. *Trends in Endocrinology and Metabolism*, 6: 95-101.
16. Miller, S.A., D.D. Dykes and H.F. Polesky. 1988. A simple salting out procedure for extracting DNA from human nucleated cells. *Nucleic Acids Research*, 16:1215.
17. Nazifi, N., G. Rahimi-Mianji and Z. Ansari-Pirsaraei. 2011. Association of polymorphism in *FSHB* gene with litter size in Iran Black, Arman and Baluchi sheep. The 12th Iranian Genetics Congress. Tehran-Iran, (In Persian).
18. Ohta, T., H. Miyake, C. Miura, H. Kamei, K. Aid and T. Miura. 2007. Follicle-stimulating hormone induces spermatogenesis mediated by androgen production in Japanese eel, *Anguilla japonica*. *Biology Reproduction*, 77: 970-977.
19. SAS. 2009. SAS Statistical Analysis Systems 2000. User's Guide. SAS Institute Incorporation, Cary, NC.
20. Souza, C.J.C., B.K. MacDougall, A. Campbell, S. McNeilly and D.T. Baird. 2001. The Booroola (FecB) phenotype is associated with a mutation in the bone morphogenetic receptor type 1 B (BMPR1B) gene. *Journal of Endocrinology*, 169: 1-6.
21. Waldron, D.F. and D.L. Thomas. 1992. Increased litter size in Rambouillet sheep: I. Estimation of genetic parameters. *Journal of Animal Science*, 70: 3333-3344.
22. Zhang, C.Y., C.J. Wu, W.B. Zeng, K.K. Huang, X. Li, J.H. Feng, D. Wang, G.H. Hua, D.Q. Xu, Q.Y. Wen and L.G. Yang. 2011. Polymorphism in exon 3 of follicle stimulating hormone beta (FSHB) subunit gene and its association with litter traits and superovulation in the goat .*Small Ruminant Research*, 96: 53-59.

Association of Genetic Variation in Exon 1 and 3 of *FSHB* Gene with Litter Size in Baluchi Sheep

Mohsen Gholizadeh¹ and Mojtaba Najafi²

1- Assistant Professor, Sari Agricultural Sciences and Natural Resources University

(Corresponding author: mh_gholizadeh@yahoo.com)

2- PhD in Animal Breeding and Genetics, Sari Agricultural Sciences and Natural Resources University

Received: June 27, 2015

Accepted: October 3, 2015

Abstract

This research was conducted to find association of genetic variation in exon 1 and 3 of the follicle stimulating hormone beta (*FSHB*) subunit gene and litter size in Baluchi sheep. DNA was extracted using modified salting out method and polymerase chain reaction was used to amplify a fragment of 220 bp of exon 1 and a fragment of 427 bp of exon 3 along with a part of intron 2. Two methods of PCR-SSCP and DNA sequencing were used for identification the different genotypes, While no polymorphism was found for exon 3, the present study identified 3 novel nucleotide polymorphisms in exon 1 of ovine *FSHB* gene, resulted 7 banding patterns which significantly influenced total and average number of labs across all parties. Results also showed significant association ($p<0.05$) of polymorphism in exon 1 with litter size for parity 2 in a way that pattern E had the most phenotype (1.88) compared with pattern A as reference while the less phenotype was detected for pattern B. These results showed the potential usefulness of this gene in marker-assisted selection for sheep breeding.

Keywords: *FSHB* gene, Litter size, Sheep